

МОДЕЛИРОВАНИЕ ЭЛЕКТРОХИМИЧЕСКОЙ ПРОШИВКИ ОТВЕРСТИЙ ЭЛЕКТРОДОМ-ИНСТРУМЕНТОМ С КРИВОЛИНЕЙНЫМ УЧАСТКОМ ГРАНИЦЫ

Миназетдинов Н.М.

К.Ф.-М.Н., доцент,

Набережночелнинский институт Казанского (Приволжского) федерального университета

nminazetdinov@yandex.ru

Аннотация. Получено решение нелинейной двумерной задачи теории электрохимической обработки металлов, связанной с определением формы металлической поверхности при ее обработке катодом-инструментом с криволинейным участком границы. Представлены результаты расчетов для частных случаев.

Ключевые слова: электрохимическая обработка металлов, потенциал, гидродинамическая аналогия, свободная поверхность.

MODELING OF ELECTROCHEMICAL MACHINING OF HOLES BY AN ELECTRODE-TOOL WITH A CURVILINEAR PART OF THE BOUNDARY

Minazetdinov N.,

Branch of Kazan Federal University in Naberezhnye Chelny

Abstract. The solution of non-linear two-dimensional problem in the theory of the electrochemical machining of metals, associated with the determination the shape of metal surface during its treatment with an electrode tool with a curvilinear part of the boundary is obtained. In conclusion the constructed analytical solution of the problem is illustrated by the results of calculations for particular cases.

Keywords: electrochemical machining of metals, potential, hydrodynamic analogy, free surface.

Описанию процесса электрохимической обработки металлов посвящено значительное число работ [1]. В работе [2], в рамках модели идеального процесса [3, 4], получено численно-аналитическое решение двумерной задачи, связанной с определением ширины паза и формы анодной границы при стационарной электрохимической прошивке детали трехгранным катодом симметричной формы. В данной работе находится решение задачи в случае катода симметричной формы с криволинейным участком границы. В отличие от схемы, рассмотренной в работе [5], катод содержит электроизолированный участок границы.

Постановка задачи и ее численно-аналитическое решение. Схема сечения межэлектродного промежутка представлена на рис.1. Граница катода – симметричный контур с криволинейным участком границы. В силу симметрии межэлектродного промежутка ограничимся рассмотрением левой его части. На ней линия CDE соответствует границе катода,

состоящей из рабочей (токопроводящей) части CD и электроизолированного участка DE ; BC и EF – линии симметрии. Введем систему декартовых координат (x, y) , связанную с катодом, который движется в направлении оси ординат к обрабатываемой заготовке детали с постоянной скоростью V_c . Углы, образованные касательной к дуге CD в точках C и D к оси абсцисс, равны нулю и $\alpha\pi$, соответственно.

Потенциал u электрического поля в межэлектродном промежутке удовлетворяет уравнению Лапласа. На границах FAB анода и CD катода потенциал поля принимает постоянные значения: $u|_{FAB} = u_a$, $u|_{CD} = u_c$. На границе изоляции DE и линиях симметрии BC , EF выполняется условие: $\partial u / \partial n_1 = 0$.

В модели, искомую анодную границу разделим на два участка. На участке AB происходит растворение металла в соответствии с условием

$$\frac{\partial u}{\partial n_1} = \frac{1}{\kappa a_0} \left(-a_1 + \frac{\rho V_c}{\varepsilon} \cos \theta \right), \quad (1)$$

где κ – удельная электропроводность среды, ε – электрохимический эквивалент металла, ρ – плотность материала анода, θ – угол между вектором \mathbf{V}_c скорости подачи катода и вектором \mathbf{n}_1 нормали (рис. 1) [4]. Постоянные a_0, a_1 характеризуют свойства электролита и обрабатываемого материала, их значения найденные из экспериментальных данных, приведены в работе [4].

В области, которая моделируется вертикальным прямолинейным участком AF , растворение металла не происходит в связи с увеличением межэлектродного расстояния.

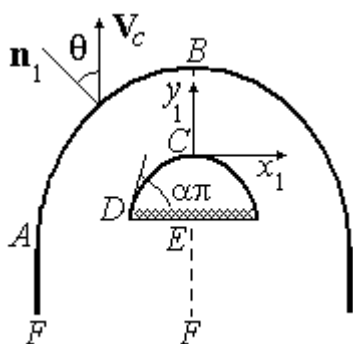


Рис. 1. Схема межэлектродного промежутка

Введем безразмерные переменные $x = x_1/H, y = y_1/H, n = n_1/H$, где $H = \kappa(u_a - u_c)/j_0$ – характерная длина, $j_0 = \rho V_c/\varepsilon$ – характерная плотность тока, и представим комплексный потенциал элект-

рического поля [6] $W_1(z_1) = v(x_1, y_1) + iu(x_1, y_1)$, $z_1 = x + iy_1$ ($v(x_1, y_1)$ – функция тока) в безразмерном виде $W(z) = \varphi(x, y) + i\psi(x, y)$, $z = x + iy$ с помощью преобразования $W(z) = (W_1(z) - iu_c)/(u_a - u_c)$ [7]. Тогда условие (1) принимает вид

$$\frac{\partial \psi}{\partial n} = a + b \cos \theta, \quad a = -\frac{a_1}{a_0 j_0}, \quad b = \frac{1}{a_0}. \quad (2)$$

Электрическое поле в межэлектродном промежутке моделируется фиктивным плоскопараллельным потенциальным течением идеальной несжимаемой жидкости [8]. Поток создается системой непрерывно распределенных источников вдоль линии DFE и стоков на линии BC , а условие (2) определяет годограф скорости V фиктивного течения на неизвестной анодной границе AB

$$V = a + b \cos \theta, \quad (3)$$

где θ – аргумент вектора скорости [4]. Вдоль границы AF скорость монотонно уменьшается от значения $V = a$ в точке A до нуля в точке F . Схема расположения линий тока фиктивного течения представлена на рис. 2а.

Для решения задачи введем параметрическую комплексную переменную $t = \xi + i\delta$, изменяющуюся в области G_t ($0 < \xi < \pi/2, 0 < \delta < \pi|\tau|/4$) ($\tau = i|\tau|$) (рис. 2б), и будем искать функцию $z(t)$, конформно

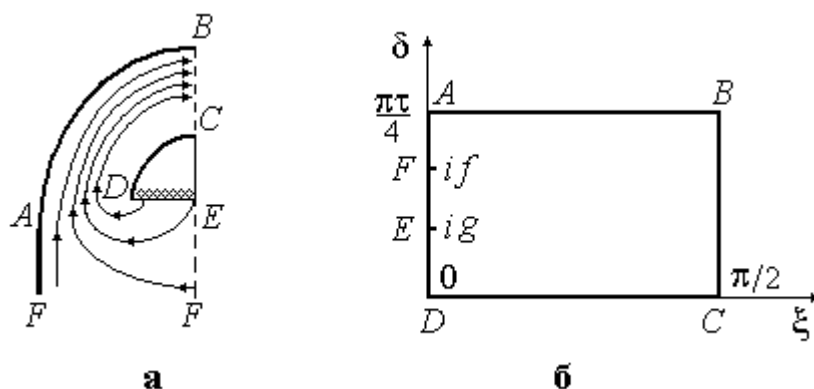


Рис. 2. а) схема линий тока фиктивного течения; б) параметрическая плоскость t .

отображающую прямоугольник G_t на область течения. Соответствующие точки обозначены одинаковыми буквами на рис. 2а, б.

Комплексный потенциал $W(t) = \varphi(t) + i\psi(t)$ удовлетворяет граничным условиям

$$\begin{aligned} \psi(\xi) &= 0, \quad \psi(\xi + \pi\tau/4) = 1, \quad \xi \in [0, \pi/2], \\ \psi(i\delta) &= 1, \quad \delta \in [f, \pi|\tau|/4], \\ \varphi(i\delta) &= 0, \quad \delta \in [0, f], \\ \varphi(\pi/2 + i\delta) &= \varphi_0, \quad \delta \in [0, \pi|\tau|/4]. \end{aligned}$$

Постоянная величина Φ_0 определяет величину электрического тока, протекающего через анодную границу FAB . Область изменения комплексного потенциала представлена на рис. 3.

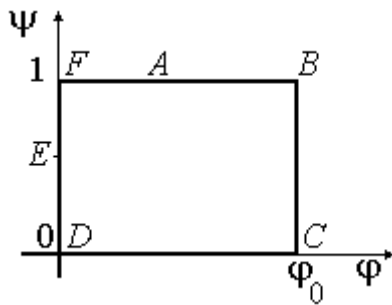


Рис. 3.

Используя метод конформных отображений [6], найдем производную комплексного потенциала и параметр Φ_0

$$\begin{aligned} \frac{dW}{dt} &= N F_1(t), \quad N = \left(\int_0^f F_1(ix) dx \right)^{-1}, \\ \Phi_0 &= N \int_0^{\pi/2} F_1(x) dx, \end{aligned} \quad (4)$$

$$F_1(t) = \sqrt{\frac{\vartheta_3 \vartheta_3(2t) - \vartheta_2 \vartheta_2(2t)}{\vartheta_2(2fi) \vartheta_3(2t) - \vartheta_3(2fi) \vartheta_2(2t)'}}$$

где $\vartheta_i(u)$, $\vartheta_i = \vartheta_i(0)$ ($i = \overline{1, 4}$) – тета-функции для периодов $\pi, \pi\tau$ [9].

Введем функцию Жуковского

$$\begin{aligned} \chi(t) &= \ln(dW / (V_0 dz)) = r - i\theta, \\ r &= \ln(V/V_0), \end{aligned}$$

$V_0 = a + b$ модуль скорости в точке B ($t = \pi/2 + \pi\tau/4$) [8]. На прямолинейных участках границы $\text{Im} \chi(t)$ – кусочно-постоянная функция.

$$\text{Im} \chi(t) = \begin{cases} -3\pi/2, & t = i\delta, \quad \delta \in (0, g), \\ -\pi, & t = i\delta, \quad \delta \in (g, f), \\ -\pi/2, & t = i\delta, \quad \delta \in (f, \pi|\tau|/4], \\ 0, & t = \pi/2 + i\delta, \quad \delta \in [0, \pi|\tau|/4]. \end{cases}$$

Пусть на дуге CD задана непрерывная функция $\theta(s)$, где s – длина дуги, отсчитываемая от точки D (рис. 1). Вводя кривизну $K(\theta)$ дуги CD , получим граничное условие [8]

$$\frac{d\theta}{d\xi} = -\frac{K(\theta)}{V_0} \left| \frac{dW}{d\xi} \right| \exp(-r(\xi)), \quad \xi \in [0, \pi/2], \quad (2)$$

На анодной границе AB выполняются условия [5]

$$\begin{aligned} a + b \cos \theta(t) - V_0 e^{r(t)} &= 0, \\ t = \xi + \pi\tau/4, \quad \xi \in [0, \pi/2], \end{aligned} \quad (3)$$

$$r(\pi/2 + \pi\tau/4) = 0. \quad (4)$$

Представим функцию $\chi(t)$ в виде суммы [10]

$$\chi(t) = \chi_*(t) + \Omega_1(t) + \Omega_2(t), \quad (5)$$

где $\Omega_k(t) = v_k(t) + i\varepsilon_k(t)$ ($k = 1, 2$) – аналитические в области G_t и непрерывные вплоть до ее границ функции. Функция $\chi_*(t) = r_*(t) - i\theta_*(t)$, $r_* = \ln(V_*/V_0)$ соответствует схеме (рис. 4) вспомогательного течения, в которой криволинейная дуга CD заменена отрезком $\theta_*(\xi) = \theta(0) = \alpha\pi$, $\xi \in [0, \pi/2]$, а на границе AB выполняется равенство $V_* = V_0$, т.е. $\text{Re} \chi_*(\xi + \pi\tau/4) = 0$, $\xi \in [0, \pi/2]$.

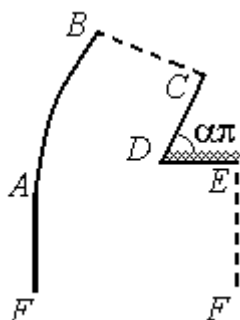


Рис. 4.

Функции $\chi(t)$ и $\chi_*(t)$ имеют одни и те же особенности в области изменения переменной t .

Используя метод особых точек Чаплыгина [8], получим

$$\chi_*(t) = \ln \left[\left(\frac{\vartheta_1(t)}{\vartheta_4(t)} \right)^{2\alpha-3} (F_2(t, f) F_2(t, g))^{0.5} \right] - i\alpha\pi, \quad (6)$$

$$F_2(x, y) = \frac{\vartheta_1(x - iy) \vartheta_1(x + iy)}{\vartheta_4(x - iy) \vartheta_4(x + iy)}.$$

Потребуем выполнения следующих граничных условий для неизвестных функций $\Omega_k(t) = v_k(t) + i\varepsilon_k(t)$ ($k = 1, 2$):

$$\begin{aligned} \varepsilon_1(t) = \varepsilon_2(t) = 0, \quad t = i\delta, \quad \delta \in [0, \pi|\tau|/4], \\ \varepsilon_2(t) = 0, \quad t = \xi, \quad \xi \in [0, \pi/2], \\ \varepsilon_1(t) = \alpha\pi, \quad \varepsilon_2(t) = 0, \quad t = \pi/2 + i\delta, \quad \delta \in [0, \pi|\tau|/4], \\ v_1(t) = 0, \quad t = \xi + \pi\tau/4, \quad \xi \in [0, \pi/2]. \end{aligned} \quad (7)$$

Из сравнения граничных условий для функций $\chi(t)$ и $\chi_*(t)$, получим, что эти функции должны удовлетворять условиям

$$\frac{d\varepsilon_1}{d\xi} = \frac{K(\theta(\xi))}{V_0} \rho(\xi) e^{-(v_1(\xi) + v_2(\xi))}, \quad \xi \in [0, \pi/2], \quad (8)$$

где

$$\theta(\xi) = \alpha\pi - \varepsilon_1(\xi),$$

$$\rho(\xi) = |dW/d\xi| e^{-r_*(\xi)} = N F_3(\xi),$$

$$F_3(\xi) = F_1(\xi) (F_2(\xi, f) F_2(\xi, g))^{-0.5} \left(\frac{\vartheta_1(\xi)}{\vartheta_4(\xi)} \right)^{3-2\alpha}.$$

$$\begin{aligned} a + b \cos(\theta(t)) - V_0 e^{v_2(t)} = \\ = 0, \quad t = \xi + \pi\tau/4, \quad \xi \in [0, \pi/2], \end{aligned} \quad (9)$$

$$v_2(\pi/2 + \pi\tau/4) = 0, \quad (10)$$

где $\theta(t) = \theta_*(t) - \varepsilon_1(t) - \varepsilon_2(t)$. Интегрируя выражение (8) на отрезке $[0, \pi/2]$, получим

$$\begin{aligned} \alpha\pi = I/V_0, \\ I = \int_0^{\pi/2} K(x) \rho(x) \exp(-(v_1(x) + v_2(x))) dx. \end{aligned} \quad (11)$$

В точке A выполняется условие гладкого отрыва [5, 8]

$$\theta'(t) = 0 \quad \text{при } t = \pi\tau/4. \quad (12)$$

Таким образом, для определения неизвестных функций $\Omega_k(t) = v_k(t) + i\varepsilon_k(t)$ ($k = 1, 2$) имеем краевую задачу (7) - (12). Эти функции в силу условий (7) разлагаются в ряды с вещественными коэффициентами [10]

$$\begin{aligned} \Omega_1(t) = \alpha \left(2ti + \frac{\pi|\tau|n}{2} \right) + \\ + 2 \sum_{n=1}^{\infty} c_n \operatorname{sh} \left(\left(2ti + \frac{\pi|\tau|n}{2} \right) n \right), \end{aligned} \quad (13)$$

$$\Omega_2(t) = b_0 + \sum_{n=1}^{\infty} b_n \cos 2tn,$$

$$b_0 = \sum_{n=1}^{\infty} (-1)^{n+1} b_n \operatorname{ch}(\pi|\tau|n/2). \quad (14)$$

Геометрические характеристики течения определяются из параметрической зависимости

$$\frac{dz}{dt} = \frac{\exp(-\chi(t)) dW}{V_0 dt} = \frac{N e^{\alpha \pi i}}{V_0} F_3(t) \exp(-(\Omega_1(t) + \Omega_2(t))), \quad (15)$$

Интегрируя выражение (15) по полуокружности бесконечно малого радиуса с центром в точке $t=if$ на плоскости переменной t с помощью теории вычетов [6], найдем расстояние $h = h(f, g, \tau)$ между линиями AF и EF , соответствующее половине безразмерной ширины паза. Интегрируя выражение (15) на отрезке $[0, ig]$ найдем длину L отрезка DE :

$$L = L(f, g, \tau). \quad (16)$$

В качестве примера рассмотрим случай, когда криволинейный участок границы катода — дуга эллипса, фокусы которого расположены на оси ординат. Кривизна эллипса записывается в виде

$$K(\theta) = (1 - \varepsilon^2 \cos^2 \theta)^{3/2} / p, \quad p = b_2^2 / a_2, \quad \varepsilon = \sqrt{a_2^2 - b_2^2} / a_2. \quad (17)$$

где p — фокальный параметр, ε — эксцентриситет, a_2, b_2 — полуоси эллипса.

Расчеты выполнены при следующих значениях задаваемых параметров: $a_2 = 0,15, b_2 = 0,25, L = 0,15, \alpha = 0,5, j_0 = 50 \text{ A/cm}^2, a_0 = 0,906, a_1 = -12,818$. На рис. 5а сплошной линией представлены результаты расчета анодной границы для указанного частного случая. Результаты расчета значения h половины безразмерной ширины паза, величины зазора h_{BC} в сечении BC , координаты точки A таковы: $h = 0,9237, h_{BC} = 0,4209, x = -0,9237, y = -0,8790$. Для сравнения, на этом же рисунке, пунктирной линией обозначены результаты расчета анодной границы, для электрохимической обработки катодом-инструментом без изоляции на участке DE [5].

Для частного случая, если $a_2 = b_2 = R = 0,25, L = 0,25, \alpha = 0,5, j_0 = 50 \text{ A/cm}^2, a_0 = 0,906, a_1 = -12,818$ получается $h = 1,0025, h_{BC} = 0,4690, x = -1,0025, y = -0,9054$. На рис. 5б, аналогичным образом, представлены результаты расчета анодной границы с изоляцией и без изоляции на границе катода, для указанного частного случая.

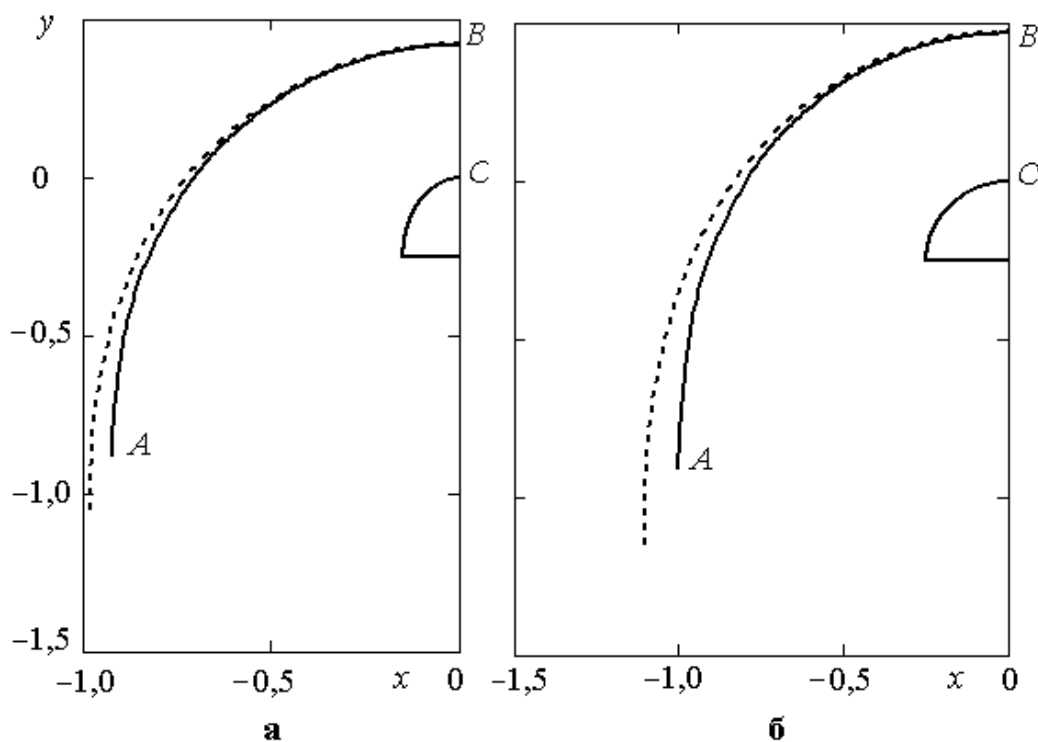


Рис. 5. Результаты расчета анодных границ

Список литературы

1. Rajurkar K.P., Sundaram M.M., Malshe A.P Review of electrochemical and electrodischarge machining // Proceeding of the seventeenth SIRP conference of electro physicals and chemical machining (ISEM). – 2013, – Vol. 6. – pp. 13 – 26.
2. Миназетдинов Н.М. Моделирование электрохимической прошивки пазов // Современная наука: актуальные проблемы теории и практики. Естественные и технические науки. – 2014. – №11-12. – С. 56-61.
3. Давыдов А.Д., Козак Е. Высокоскоростное электрохимическое формообразование. – М.: Наука, 1990. – 272 с.
4. Котляр Л.М., Миназетдинов Н.М. Определение формы анода с учетом свойств электролита в задачах электрохимической размерной обработки металлов // ПМТФ – 2003. – Т.44. №3. – С. 179–184.
5. Миназетдинов Н.М. Об одной схеме электрохимической обработки металлов катодом-инструментом с криволинейным участком границы // ПММ – 2009. – Т. 73. Вып. 5. – С. 824-832.
6. Лаврентьев М.А., Шабат Б.В. Методы теории функций комплексного переменного. – М.: Наука, 1987. – 688 с.
7. Каримов А.Х., Клоков В.В., Филатов Е. И. Методы расчета электрохимического формообразования. – Казань: Изд-во Казан. ун-та, 1990. – 388 с.
8. Гуревич М.И. Теория струй идеальной жидкости – М.:Наука, 1979. – 536 с.
9. Уиттекер Э.Т., Ватсон Дж. Н. Курс современного анализа Т.2. Трасцендентные функции. – М.: Физматгиз, 1963. – 688 с.
10. Котляр Л.М., Миназетдинов Н.М. Моделирование процесса электрохимической обработки металла для технологической подготовки производства на станках с ЧПУ. – М.: Academia, 2005. – 200 с.